

100052205

数字信号处理

Digital Signal Processing

李慧琦 教授

信息与电子学院
北京理工大学

Tel: +86 (10) 68918239

Email: huiqili@bit.edu.cn

本节主要内容

- **Z** 变换的性质
- 单、双边**Z**变换
- 系统函数

§ 2-10 z变换的定理与性质

1、线性

$$Z[x(n)] = X(z), R_{x1} < |z| < R_{x2}$$

$$Z[y(n)] = Y(z), R_{y1} < |z| < R_{y2}$$

则：

$$Z[ax(n) + by(n)] = aX(z) + bY(z), R_1 < |z| < R_2$$

通常两序列和的Z变换的收敛域为两个相加序列的收敛域的公共区域

如果线性组合中某些零点与极点互相抵消，则收敛域可能扩大

数字信号处理 (Digital Signal Processing)

例 已知

$$x(n)=a^n u(n)$$

$$y(n)=a^n u(n-N)$$

求 $x(n)$ - $y(n)$ 的Z变换。

解 由表2-1可知

$$X(z) = \frac{1}{1 - az^{-1}} \quad |z| > |a|$$

又

$$Y(z) = \sum_{n=N}^{\infty} a^n z^{-n} = \frac{a^N z^{-N}}{1 - az^{-1}} \quad |z| > |a|$$



数字信号处理 (Digital Signal Processing)

利用线性性质， $x(n)-y(n)$ 的Z变换为

$$X(z) - Y(z) = \sum_{n=0}^{N-1} a^n z^{-n} = \frac{1 - a^N z^{-N}}{1 - az^{-1}} \quad |z| > 0$$

这时由于极点 $z=a$ 消去，因此收敛域不是 $|z|>|a|$ ，而扩展为 $|z|>0$ 。实际上，由于 $x(n)-y(n)$ 是 $n \geq 0$ 的有限长序列，故收敛域是除了 $|z|=0$ 外的全部Z平面。



2. 序列的移位

$$Z[x(n + n_0)] = z^{n_0} X(z) \quad R_{x-} < |z| < R_{x+}$$

位移 n_0 可以为正（右移）也可以为负（左移）。

证

$$Z[x(n + n_0)] = \sum_{n=-\infty}^{\infty} x(n + n_0) z^{-n} = z^{n_0} \sum_{k=-\infty}^{\infty} x(k) z^{-k} = z^{n_0} X(z)$$

$Z[x(n)]$ 和 $Z[x(n+n_0)]$ 收敛域相同，在 $z=0$ 或 $z=\infty$ 可能除外。

$n_0 > 0$ ，在 $z=\infty$ 处引入极点，在 $z=0$ 处引入零点。

$n_0 < 0$ ，在 $z=0$ 处引入极点，在 $z=\infty$ 处引入零点。

3. 乘指数序列

$$Z[a^n x(n)] = X(a^{-1}z) \quad |a| R_{x-} < |z| < |a| R_{x+}$$

证

$$\begin{aligned} Z[a^n x(n)] &= \sum_{n=-\infty}^{\infty} a^n x(n) z^{-n} = \sum_{k=-\infty}^{\infty} x(k) (a^{-1}z)^{-k} \\ &= X(a^{-1}z) \quad R_{x-} < |a^{-1}z| < R_{x+} \end{aligned}$$

所有极点、零点的坐标乘以因子**a**。

例 $Z[u(n)] = \frac{1}{1-z^{-1}} \quad \infty \geq |z| > 1$

$$Z[a^n u(n)] = \frac{1}{1-(a^{-1}z)^{-1}} = \frac{1}{1-az^{-1}} \quad \infty \geq |z| > |a|$$



4. $X(z)$ 的微分

$$Z[nx(n)] = -z \frac{dX(z)}{dz} \quad R_{x-} < |z| < R_{x+}$$

证

$$\frac{dX(z)}{dz} = \frac{d}{dz} \left[\sum_{n=-\infty}^{\infty} x(n) z^{-n} \right] \quad R_{x-} < |z| < R_{x+} \quad \text{收敛域不变}$$

交换求和与求导的次序，则得

$$\frac{dX(z)}{dz} = \sum_{n=-\infty}^{\infty} x(n) \frac{d}{dz} (z^{-n}) = -z^{-1} \sum_{n=-\infty}^{\infty} nx(n) z^{-n} = -z^{-1} Z[nx(n)]$$

所以

$$Z[nx(n)] = -z \frac{dX(z)}{dz} \quad R_{x-} < |z| < R_{x+}$$

5. 复数序列的共轭

$$Z[x^*(n)] = X^*(z^*) \quad R_{x-} < |z| < R_{x+}$$

式中，符号“*”表示取共轭复数。

证

$$\begin{aligned} Z[x^*(n)] &= \sum_{n=-\infty}^{\infty} x^*(n) z^{-n} = \sum_{n=-\infty}^{\infty} [x(n)(z^*)^{-n}]^* \\ &= \left[\sum_{n=-\infty}^{\infty} x(n)(z^*)^{-n} \right]^* = X^*(z^*) \quad R_{x-} < |z| < R_{x+} \end{aligned}$$

6. 初值定理 (由 $X(z)$ 求初值)

对于因果序列 $x(n)$, 即 $x(n)=0, n<0$, 有

$$\lim_{z \rightarrow \infty} X(z) = x(0)$$

证 由于 $x(n)$ 是因果序列, 则有:

$$X(z) = \sum_{n=0}^{\infty} x(n)z^{-n} = x(0) + x(1)z^{-1} + x(2)z^{-2} + \cdots$$

$$\lim_{z \rightarrow \infty} X(z) = x(0)$$

7、终值定理(由 $X(z)$ 求终值)

若 $x(n)$ 为因果序列, 且 $X(z)=Z[x(n)]$ 的全部极点, 除有一个一阶极点可以在 $z=1$ 处外, 其余都在单位圆内, 则

$$\lim_{n \rightarrow \infty} x(n) = \lim_{z \rightarrow 1} [(z-1)X(z)]$$

证 利用序列的移位性质可得

$$Z[x(n+1) - x(n)] = (z-1)X(z) = \sum_{n=-\infty}^{\infty} [x(n+1) - x(n)]z^{-n}$$

再利用 $x(n)$ 为因果序列可得

$$(z-1)X(z) = \sum_{n=-1}^{\infty} [x(n+1) - x(n)]z^{-n}$$

数字信号处理 (Digital Signal Processing)

分析一下 $(z-1)X(z)$ 的收敛域。由于 $X(z)$ 在单位圆上只有在 $z=1$ 处可能有一阶极点，函数 $(z-1)X(z)$ 将抵消掉这个 $z=1$ 处的可能极点，因此 $(z-1)X(z)$ 的收敛域将包括单位圆，即在 $1 \leq |z| \leq \infty$ 上都收敛，所以可以取 $z \rightarrow 1$ 的极限，

$$\begin{aligned}\lim_{z \rightarrow 1} [(z-1)X(z)] &= \lim_{n \rightarrow \infty} \sum_{m=-1}^n [x(m+1) - x(m)] \\ &= \lim_{n \rightarrow \infty} \{ [x(0) - 0] + [x(1) - x(0)] + [x(2) - x(1)] + \cdots \\ &\quad + [x(n+1) - x(n)] \} \\ &= \lim_{n \rightarrow \infty} [x(n+1)] = \lim_{n \rightarrow \infty} x(n)\end{aligned}$$



数字信号处理 (Digital Signal Processing)

由于 $\lim_{z \rightarrow 1} (z-1)X(z)$ 是 $X(z)$ 在 $z=1$ 处的留数, 因此终值定理也可用留数表示, 即:

$$\lim_{z \rightarrow 1} (z-1)X(z) = \text{Res}[X(z), 1]$$

$$x(\infty) = \text{Res}[X(z), 1]$$



8. 序列的卷积

若

$$w(n) = x(n) * y(n)$$

则

$$W(z) = Z[w(n)] = X(z)Y(z)$$

$$\max[R_{x-}, R_{y-}] < |z| < \min[R_{x+}, R_{y+}]$$

收敛域为两收敛域公共部分，若有极点消去，收敛域可以扩大

数字信号处理 (Digital Signal Processing)

在线性时不变系统中，如果输入为 $x(n)$ ，系统的单位脉冲响应为 $h(n)$ ，则输出 $y(n)$ 是 $x(n)$ 与 $h(n)$ 的卷积；利用卷积定理，通过求出 $X(z)$ 和 $H(z)$ ，然后求出乘积 $X(z)H(z)$ 的 Z 反变换，从而可得 $y(n)$ 。这个定理得到广泛应用。

数字信号处理 (Digital Signal Processing)

例 设 $x(n)=a^n u(n)$,

求 $h(n)=b^n u(n)-ab^{n-1}u(n-1)$

求 $y(n)=x(n) * h(n)$ 。

解

$$X(z) = Z[x(n)] = \frac{z}{z-a} \quad |z| > |a|$$

$$H(z) = Z[h(n)] = \frac{z}{z-b} - \frac{a}{z-b} = \frac{z-a}{z-b} \quad |z| > |b|$$

所以

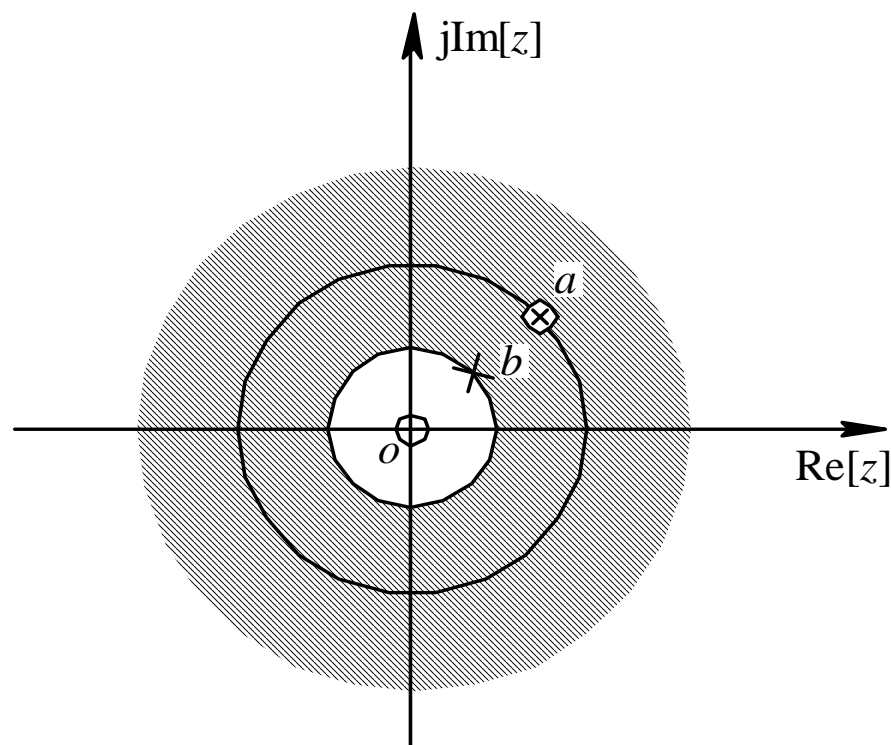
$$Y(z) = X(z)H(z) = \frac{z}{z-b} \quad |z| > b$$



数字信号处理 (Digital Signal Processing)

其Z反变换为

$$\begin{aligned} y(n) &= x(n) * h(n) \\ &= Z^{-1}[Y(z)] \\ &= b^n u(n) \end{aligned}$$



$Y(z)$ 的零极点及收敛域

显然，在 $z=a$ 处， $X(z)$ 的极点被 $H(z)$ 的零点所抵消，如果 $|b| < |a|$ ，则 $Y(z)$ 的收敛域比 $X(z)$ 与 $H(z)$ 收敛域的重叠部分要大。

9. 序列乘积的 z 变换（复卷积定理）

若 $w(n) = x(n)y(n)$

则

$$W(z) = Z[w(n)] = Z[x(n)y(n)] = \sum_{n=-\infty}^{\infty} x(n)y(n)z^{-n}$$

$$= \frac{1}{2\pi j} \oint_c X(v)Y\left(\frac{z}{v}\right)v^{-1}dv$$

$$R_{x-}R_{y-} < |z| < R_{x+}R_{y+}$$

数字信号处理 (Digital Signal Processing)

式中, c 是哑变量 v 平面上 $X(v)$ 与 $Y(z/v)$ 的公共收敛域内环绕原点的一条反时针旋转的单封闭围线, 满足:

$$R_{x-} < |v| < R_{x+} \quad , \quad R_{y-} < \left| \frac{z}{v} \right| < R_{y+}$$

将两个不等式相乘即得 z 平面的收敛域为

$$R_{x-} R_{y-} < |z| < R_{x+} R_{y+}$$

v 平面收敛域为

$$\max \left[R_{x-}, \frac{|z|}{R_{y+}} \right] < |v| < \min \left[R_{x+}, \frac{|z|}{R_{y-}} \right]$$



数字信号处理 (Digital Signal Processing)

$$\begin{aligned}\text{证 } W(z) &= Z[w(n)] = Z[x(n)y(n)] = \sum_{n=-\infty}^{\infty} x(n)y(n)z^{-n} \\&= \sum_{n=-\infty}^{\infty} \left[\frac{1}{2\pi j} \oint_c X(v)v^{n-1} dv \right] y(n)z^{-n} \\&= \frac{1}{2\pi j} \sum_{n=-\infty}^{\infty} y(n) \left[\oint_c X(v)v^n \frac{dv}{v} \right] z^{-n} \\&= \frac{1}{2\pi j} \oint_c \left[X(v) \sum_{n=-\infty}^{\infty} y(n) \left(\frac{z}{v} \right)^{-n} \right] \frac{dv}{v} \\&= \frac{1}{2\pi j} \oint_c X(v) Y\left(\frac{z}{v} \right) v^{-1} dv \quad R_{x-} R_{y-} < |z| < R_{x+} R_{y+}\end{aligned}$$



数字信号处理 (Digital Signal Processing)

由推导过程看出 $X(v)$ 的收敛域就是 $X(z)$ 的收敛域， $Y(z/v)$ 的收敛域（ z/v 的区域）就是 $Y(z)$ 的收敛域（ z 的区域），从而收敛域亦得到证明。 葛

不难证明，由于乘积 $x(n)y(n)$ 的先后次序可以互调，故 X,Y 的位置可以互换，故下式同样成立。

$$\begin{aligned} W(z) &= Z[x(n)y(n)] \\ &= \frac{1}{2\pi j} \oint_c Y(v) X\left(\frac{z}{v}\right) v^{-1} dv \end{aligned} \quad R_{x-}R_{y-} < |z| < R_{x+}R_{y+}$$

而此时围线 c 所在收敛域为

$$\max\left[R_{y-}, \frac{|z|}{R_{x+}}\right] < |v| < \min\left[R_{y+}, \frac{|z|}{R_{x-}}\right]$$



数字信号处理 (Digital Signal Processing)

复卷积公式可用留数定理求解，但关键在于确定围线所在的收敛域。

$$\frac{1}{2\pi j} \oint_c X(v) Y\left(\frac{z}{v}\right) v^{-1} dv = \sum_k \operatorname{Res} \left[X(v) Y\left(\frac{z}{v}\right) v^{-1}, a_k \right]$$

式中， $\{a_k\}$ 为 $X(v)Y\left(\frac{z}{v}\right)v^{-1}$ 在围线 c 内的全部极点。

若用 $v=e^{j\theta}$, $z=e^{j\omega}$ 代入式，则可得

$$W(e^{j\omega}) = \frac{1}{2\pi} \int_{-\pi}^{\pi} X(e^{j\theta}) Y(e^{j(\omega-\theta)}) d\theta$$

显然，上式是 $X(e^{j\omega})$ 与 $Y(e^{j\omega})$ 的卷积，又称为复卷积。



10. 帕塞伐 (Parseval) 定理

利用复卷积定理可以得到重要的帕塞伐定理。若有两序列 $x(n)$ 、 $y(n)$ ，则有：

$$X(z) = Z[x(n)] \quad R_{x-} < |z| < R_{x+}$$

$$Y(z) = Z[y(n)] \quad R_{y-} < |z| < R_{y+}$$

它们的收敛域满足以下条件：

$$R_{x-} R_{y-} < |z| = 1 < R_{x+} R_{y+}$$

那么

$$\sum_{n=-\infty}^{\infty} x(n) y^*(n) = \frac{1}{2\pi j} \oint_c X(v) Y^*\left(\frac{1}{v^*}\right) v^{-1} dv$$

数字信号处理 (Digital Signal Processing)

积分闭合围线 c 应在 $X(v)$ 和 $Y^*(1/v)$ 的公共收敛域内, 即

$$\max\left[R_{x-}, \frac{1}{R_{y+}}\right] < |v| < \min\left[R_{x+}, \frac{1}{R_{y-}}\right]$$

证 令

$$w(n) = x(n)y^*(n)$$

由于

$$Z[y^*(n)] = Y^*(z^*)$$



数字信号处理 (Digital Signal Processing)

利用复卷积公式可得

$$\begin{aligned} W(z) &= Z[w(n)] = \sum_{n=-\infty}^{\infty} x(n) y^*(n) z^{-n} \\ &= \frac{1}{2\pi j} \oint_c X(v) Y^* \left(\frac{z^*}{v^*} \right) v^{-1} dv \end{aligned} \quad R_{x-} R_{y-} < |z| < R_{x+} R_{y+} \text{ 环}$$

由于假设条件中已规定收敛域满足 $R_{x-} R_{y-} < 1 < R_{x+} R_{y+}$ ，因此在 $|z|=1$ 收敛域内，也就是 $W(z)$ 在单位圆上收敛，则

$$W(z) \big|_{z=1} = \frac{1}{2\pi j} \oint_c X(v) Y^* \left(\frac{1}{v^*} \right) v^{-1} dv$$



数字信号处理 (Digital Signal Processing)

同时

$$W(z) \big|_{z=1} = \sum_{n=-\infty}^{\infty} x(n) y^*(n) z^{-n} \big|_{z=1} = \sum_{n=-\infty}^{\infty} x(n) y^*(n)$$

因此

$$\sum_{n=-\infty}^{\infty} x(n) y^*(n) = \frac{1}{2\pi j} \oint_c X(v) Y^* \left(\frac{1}{v} \right) v^{-1} dv$$

如果 $X(z)$ 、 $Y(z)$ 在单位圆上都收敛，则围线 c 可取为单位圆，即

$$v = e^{j\omega}$$

则式可变为

$$\sum_{n=-\infty}^{\infty} x(n) y^*(n) = \frac{1}{2\pi} \int_{-\pi}^{\pi} X(e^{j\omega}) Y^*(e^{j\omega}) d\omega$$



数字信号处理 (Digital Signal Processing)

帕塞伐定理的一个很重要的应用是计算序列的能量，一个序列值的平方总和 $\sum_{n=-\infty}^{\infty} |x(n)|^2$ 称为“序列能量”，如果有 $y(n)=x(n)$ ，则

$$\sum_{n=-\infty}^{\infty} |x(n)|^2 = \frac{1}{2\pi} \int_{-\pi}^{\pi} |X(e^{j\omega})|^2 d\omega$$

这表明时域中求能量与频域中求能量是一致的。 葛



数字信号处理 (Digital Signal Processing)

z 变换特性表

表 2-2

序 列	z 变 换	收 敛 域
1. $ax(n) + by(n)$	$aX(z) + bY(z)$	$\max[R_{x-}, R_{y-}] < z < \min[R_{x+}, R_{y+}]$
2. $x(n - n_0)$	$z^{-n_0}X(z)$	$R_{x-} < z < R_{x+}$
3. $a^n x(n)$	$X(a^{-1}z)$	$ a R_{x-} < z < a R_{x+}$
4. $nx(n)$	$-z \frac{dX(z)}{dz}$	$R_{x-} < z < R_{x+}$
5. $x^*(n)$	$X^*(z^*)$	$R_{x-} < z < R_{x+}$
6. $x(n) * y(n)$	$X(z)Y(z)$	$\max[R_{x-}, R_{y-}] < z < \min[R_{x+}, R_{y+}]$
7. $x(n)y(n)$	$\frac{1}{2\pi j} \oint_{\Gamma} X(v)Y\left(\frac{z}{v}\right)v^{-1}dv$	$R_x - R_{y-} < z < R_{x+}R_{y+}$
8. $x(0) = X(\infty)$		$ z > R_{x-}$
9. $x(\infty) = \text{Res}[X(z), 1]$		$(z-1)X(z)$ 收敛于 $ z \geq 1$
10. $\sum_{n=-\infty}^{\infty} x(n)y^*(n)$ $= \frac{1}{2\pi j} \oint_{\Gamma} X(v)Y^*\left(\frac{1}{v^*}\right)v^{-1}dv$		$R_x - R_{y-} < 1 < R_{x+}R_{y+}$



§ 2-11 单边z变换

$$\left\{ \begin{array}{l} X(z) = \sum_{n=0}^{\infty} x(n) z^{-n} \\ z = r \cdot e^{j\omega} \end{array} \right.$$

单边Z变换

因果序列，单、双边Z变换相等。

§ 2-12 系统函数

系统函数的定义

$$y(n) = x(n) * h(n)$$

$$Y(z) = X(z)H(z)$$

$$\Rightarrow H(z) = \frac{Y(z)}{X(z)}$$

$$\Rightarrow h(n) = Z^{-1}[H(z)]$$

$$H(z) = Z[h(n)] = \sum_{n=-\infty}^{\infty} h(n)z^{-n}$$

系统函数 $H(z)$ 是单位取样响应 $h(n)$ 的 Z 变换；
如果 $H(z)$ 收敛域包含单位圆 $|z|=1$ ，则单位圆上的系统函数就是系统的频率响应 $H(e^{j\omega})$

$$H(e^{j\omega}) = DTFT[h(n)] = \sum_{n=-\infty}^{\infty} h(n)e^{-jn\omega}$$

数字信号处理 (Digital Signal Processing)

系统函数和差分方程的关系

$$\sum_{k=0}^N a_k y(n-k) = \sum_{r=0}^M b_r x(n-r)$$

$$Z\text{变换} \Rightarrow \sum_{k=0}^N a_k z^{-k} Y(z) = \sum_{r=0}^M b_r z^{-r} X(z)$$

$$\Rightarrow H(z) = \frac{Y(z)}{X(z)} = \frac{\sum_{r=0}^M b_r z^{-r}}{\sum_{k=0}^N a_k z^{-k}}$$

$$\Rightarrow H(z) = A \frac{\prod_{r=1}^M (1 - c_r z^{-1})}{\prod_{k=1}^N (1 - d_k z^{-1})}$$

除比例常数A以外，整个系统函数可由其全部极、零点确定。



数字信号处理 (Digital Signal Processing)

系统函数的收敛域

- 稳定系统 $s = \sum_{n=-\infty}^{\infty} |h(n)| < \infty$
- 因果系统 $h(n) = 0 \quad n < 0$
- 稳定因果系统

稳定系统：系统函数 $H(z)$ 在单位圆 $|z| = 1$ 上收敛，系统的频率响应 $H(e^{j\omega})$ 存在。

因果系统：收敛域为通过离原点最远的 $H(z)$ 的极点的圆的外部。

因果稳定系统：系统函数 $H(z)$ 必须在从单位圆到 ∞ 的整个区域收敛，即系统函数的全部极点必须在单位圆以内，且收敛域包含单位圆。



数字信号处理 (Digital Signal Processing)

系统频率响应的几何确定法

$$H(z) = A \frac{\prod_{r=1}^M (1 - c_r z^{-1})}{\prod_{k=1}^N (1 - d_k z^{-1})} = A z^{-(M-N)} \frac{\prod_{r=1}^M (z - c_r)}{\prod_{k=1}^N (z - d_k)}$$

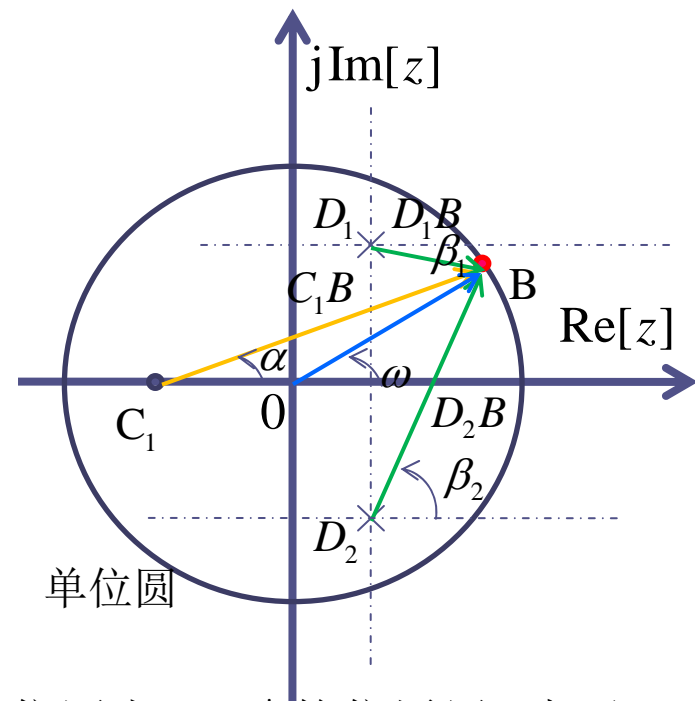
设收敛域包括单位圆，系统频率响应为：

$$H(e^{j\omega}) = A e^{-j\omega(M-N)} \frac{\prod_{r=1}^M (e^{j\omega} - c_r)}{\prod_{k=1}^N (e^{j\omega} - d_k)}$$

z 平面上零点 c_r 标志为“o” 极点 d_k 标志为“x”，单位圆上 $z = e^{j\omega}$ 的位置用 B 表示

$$c_r = \overrightarrow{OC_r}; \quad d_k = \overrightarrow{OD_k}; \quad z = e^{j\omega} = \overrightarrow{OB}$$

$$H(e^{j\omega}) = A e^{-j\omega(M-N)} \frac{\prod_{r=1}^M \overrightarrow{C_r B}}{\prod_{k=1}^N \overrightarrow{D_k B}}$$



数字信号处理 (Digital Signal Processing)

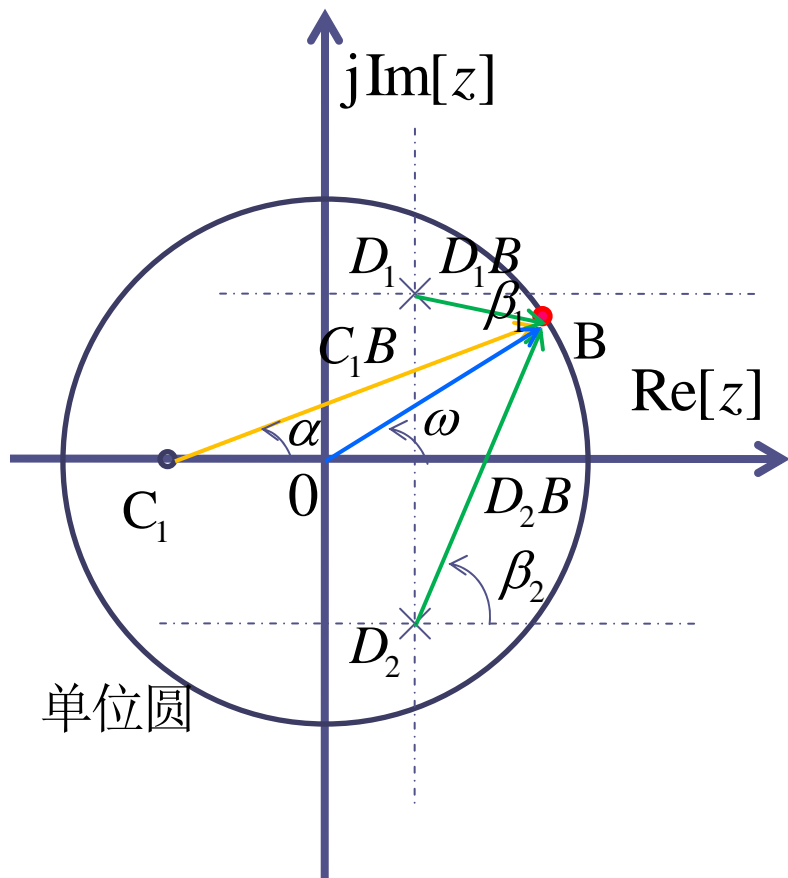
$$H(e^{j\omega}) = Ae^{-j\omega(M-N)} \frac{\prod_{r=1}^M \overrightarrow{C_r B}}{\prod_{k=1}^N \overrightarrow{D_k B}}$$

以极坐标表示:

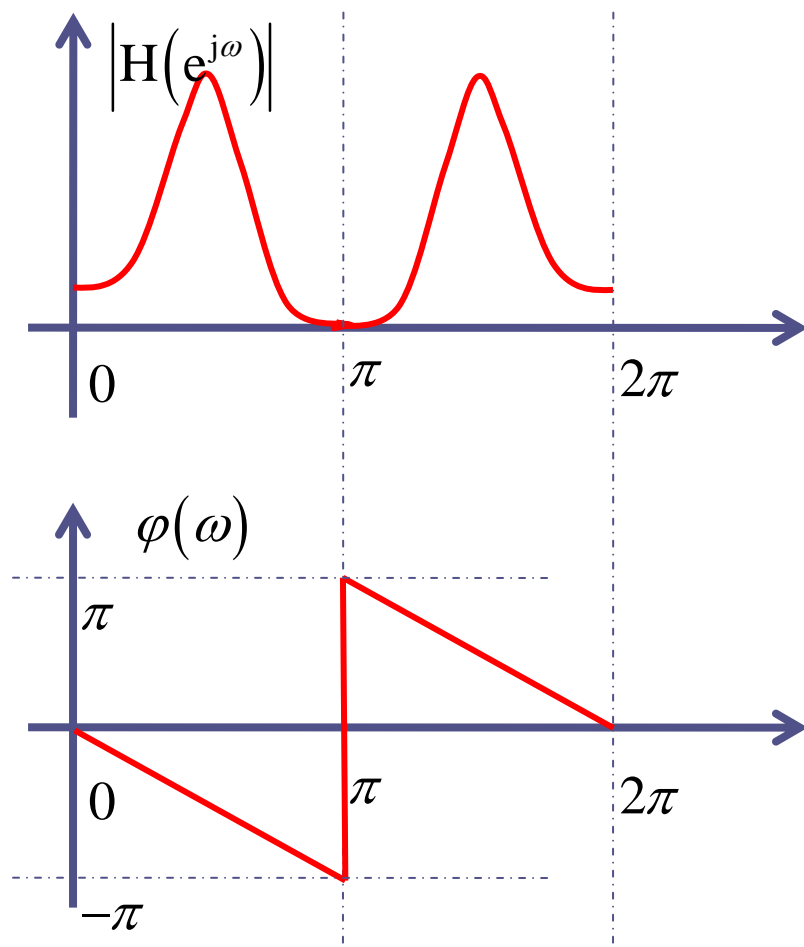
$$\left\{ \begin{array}{l} |H(e^{j\omega})| = |A| \frac{\prod_{r=1}^M |C_r B|}{\prod_{k=1}^N |D_k B|} = \frac{\text{各零矢量模的连乘积}}{\text{各极矢量模的连乘积}} \\ \varphi(\omega) = \sum_{r=1}^M \alpha_r - \sum_{k=1}^N \beta_k - (M-N)\omega \\ \quad = \text{零矢量幅角之和} - \text{极矢量复角之和} - (M-N)\omega \end{array} \right.$$



数字信号处理 (Digital Signal Processing)



系统函数的零极点矢量图



系统的振幅特性和相位特性

数字信号处理 (Digital Signal Processing)

可见，知道系统的零极点分布后，就能很容易确定零极点位置对系统特性的影响：

(1) 当**B**点转到极点附近时，极点矢量长度最短，因而幅度特性可能出现峰值，且极点愈靠近单位圆，极点矢量长度就愈短，峰值就愈高愈尖锐。如果极点在单位圆上，则幅度特性为 ∞ ，系统不稳定。

(2) 对于零点，当**B**点转到零点附近时，零点矢量长度变短，幅度特性将出现谷值，零点愈靠近单位圆，谷值就愈接近零。当零点处在单位圆上时，谷值为零。

结论：极点位置主要影响频响的峰值及尖锐程度，零点位置主要影响频响的谷值位置及形状。



数字信号处理 (Digital Signal Processing)

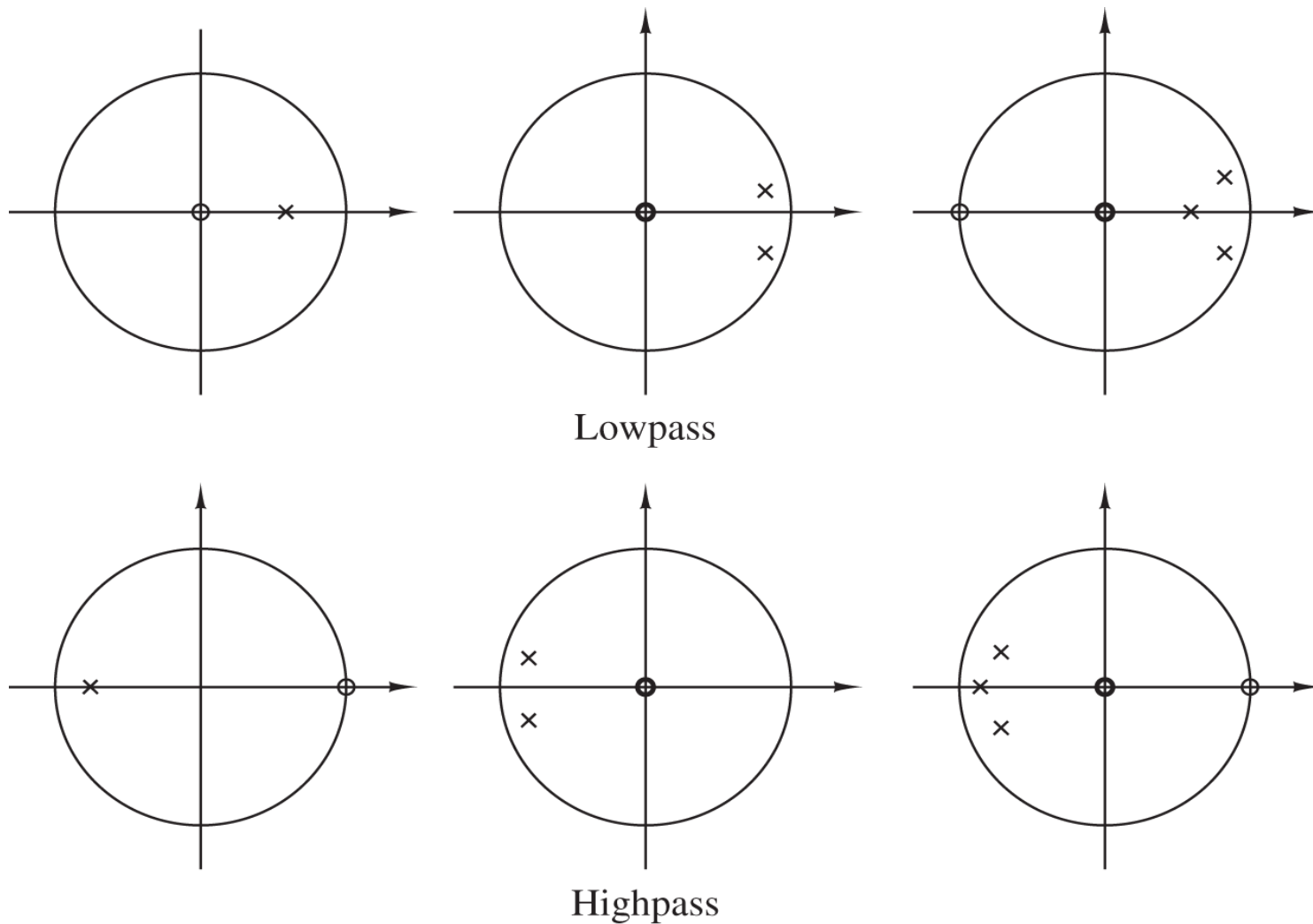


Figure 5.4.2 Pole-zero patterns for several lowpass and highpass filters.

数字信号处理 (Digital Signal Processing)

全通系统

$|H(\omega)|=1$, $0 \leq \omega \leq 2\pi$, 不改变幅度谱, 仅改变相位谱。

极点零点互为倒数

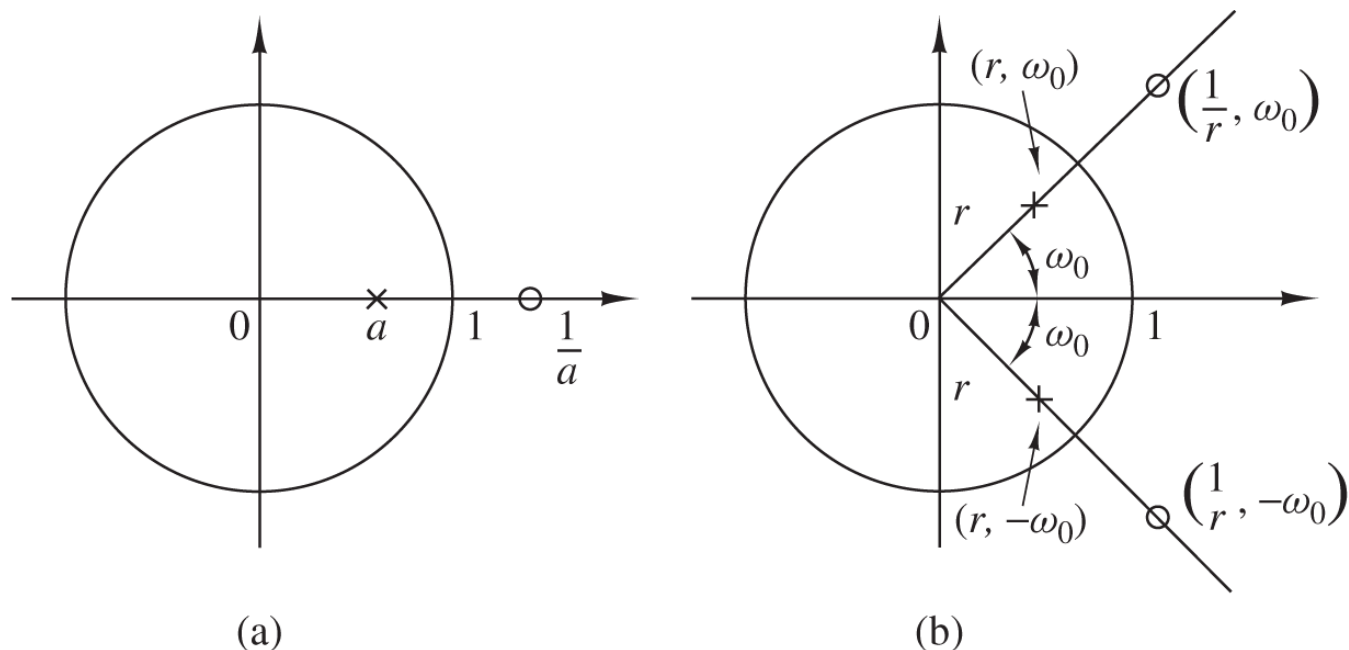


Figure 5.4.16 Pole-zero patterns of (a) a first-order and (b) a second-order all-pass filter.

数字信号处理 (Digital Signal Processing)

无限长单位脉冲响应系统 (IIR) — Infinite Impulse Response

- $h(n), 0 \leq n < +\infty / |n| < +\infty$

- $$H(z) = \frac{\sum_{k=0}^M b_k z^{-k}}{1 - \sum_{k=1}^N a_k z^{-k}}$$

- $$y(n) = \sum_{k=0}^M b_k x(n-k) + \sum_{k=1}^N a_k y(n-k)$$



数字信号处理 (Digital Signal Processing)

有限长单位脉冲响应系统 (**FIR**) — Finite Impulse Response

- $h(n), 0 \leq n \leq N-1$
- $H(z) = \sum_{k=0}^M b_k z^{-k}$
- $y(n) = \sum_{k=0}^M b_k x(n-k)$



数字信号处理 (Digital Signal Processing)

小结

连续时间信号与系统

傅里叶变换	频域
拉普拉斯变换	复频域

离散时间信号与系统

离散时间傅里叶变换	频域
z 变换	复频域
离散傅里叶变换	离散频域

